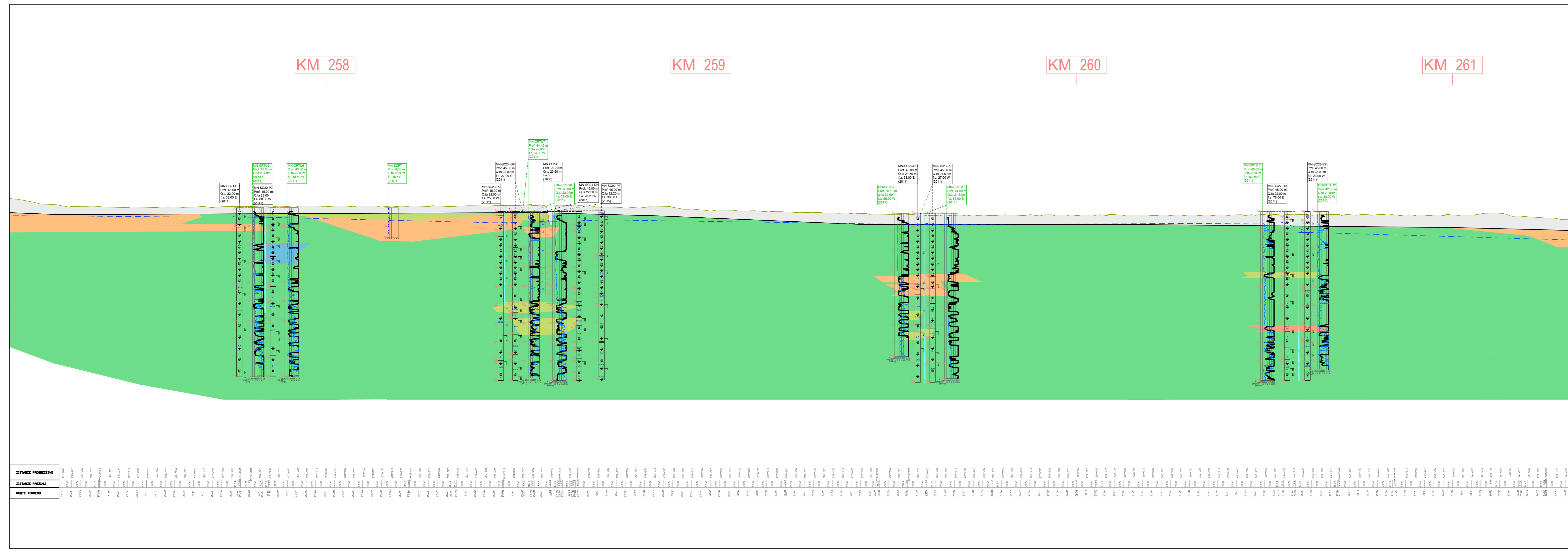


ISTANZE PROGRESSIVE	ISTANZE PARZIALI	QUOTE TORNO
254.00	254.00	1000
254.05	254.05	1000
254.10	254.10	1000
254.15	254.15	1000
254.20	254.20	1000
254.25	254.25	1000
254.30	254.30	1000
254.35	254.35	1000
254.40	254.40	1000
254.45	254.45	1000
254.50	254.50	1000
254.55	254.55	1000
254.60	254.60	1000
254.65	254.65	1000
254.70	254.70	1000
254.75	254.75	1000
254.80	254.80	1000
254.85	254.85	1000
254.90	254.90	1000
254.95	254.95	1000
255.00	255.00	1000
255.05	255.05	1000
255.10	255.10	1000
255.15	255.15	1000
255.20	255.20	1000
255.25	255.25	1000
255.30	255.30	1000
255.35	255.35	1000
255.40	255.40	1000
255.45	255.45	1000
255.50	255.50	1000
255.55	255.55	1000
255.60	255.60	1000
255.65	255.65	1000
255.70	255.70	1000
255.75	255.75	1000
255.80	255.80	1000
255.85	255.85	1000
255.90	255.90	1000
255.95	255.95	1000
256.00	256.00	1000
256.05	256.05	1000
256.10	256.10	1000
256.15	256.15	1000
256.20	256.20	1000
256.25	256.25	1000
256.30	256.30	1000
256.35	256.35	1000
256.40	256.40	1000
256.45	256.45	1000
256.50	256.50	1000
256.55	256.55	1000
256.60	256.60	1000
256.65	256.65	1000
256.70	256.70	1000
256.75	256.75	1000
256.80	256.80	1000
256.85	256.85	1000
256.90	256.90	1000
256.95	256.95	1000
257.00	257.00	1000
257.05	257.05	1000
257.10	257.10	1000
257.15	257.15	1000
257.20	257.20	1000
257.25	257.25	1000
257.30	257.30	1000
257.35	257.35	1000
257.40	257.40	1000
257.45	257.45	1000
257.50	257.50	1000
257.55	257.55	1000
257.60	257.60	1000
257.65	257.65	1000
257.70	257.70	1000
257.75	257.75	1000
257.80	257.80	1000
257.85	257.85	1000
257.90	257.90	1000
257.95	257.95	1000



ISTANZE PROGRESSIVE	ISTANZE PARZIALI	QUOTE TORNO
258.00	258.00	1000
258.05	258.05	1000
258.10	258.10	1000
258.15	258.15	1000
258.20	258.20	1000
258.25	258.25	1000
258.30	258.30	1000
258.35	258.35	1000
258.40	258.40	1000
258.45	258.45	1000
258.50	258.50	1000
258.55	258.55	1000
258.60	258.60	1000
258.65	258.65	1000
258.70	258.70	1000
258.75	258.75	1000
258.80	258.80	1000
258.85	258.85	1000
258.90	258.90	1000
258.95	258.95	1000
259.00	259.00	1000
259.05	259.05	1000
259.10	259.10	1000
259.15	259.15	1000
259.20	259.20	1000
259.25	259.25	1000
259.30	259.30	1000
259.35	259.35	1000
259.40	259.40	1000
259.45	259.45	1000
259.50	259.50	1000
259.55	259.55	1000
259.60	259.60	1000
259.65	259.65	1000
259.70	259.70	1000
259.75	259.75	1000
259.80	259.80	1000
259.85	259.85	1000
259.90	259.90	1000
259.95	259.95	1000
260.00	260.00	1000
260.05	260.05	1000
260.10	260.10	1000
260.15	260.15	1000
260.20	260.20	1000
260.25	260.25	1000
260.30	260.30	1000
260.35	260.35	1000
260.40	260.40	1000
260.45	260.45	1000
260.50	260.50	1000
260.55	260.55	1000
260.60	260.60	1000
260.65	260.65	1000
260.70	260.70	1000
260.75	260.75	1000
260.80	260.80	1000
260.85	260.85	1000
260.90	260.90	1000
260.95	260.95	1000
261.00	261.00	1000
261.05	261.05	1000
261.10	261.10	1000
261.15	261.15	1000
261.20	261.20	1000
261.25	261.25	1000
261.30	261.30	1000
261.35	261.35	1000
261.40	261.40	1000
261.45	261.45	1000
261.50	261.50	1000
261.55	261.55	1000
261.60	261.60	1000
261.65	261.65	1000
261.70	261.70	1000
261.75	261.75	1000
261.80	261.80	1000
261.85	261.85	1000
261.90	261.90	1000
261.95	261.95	1000

LEGENDA
Geotecnica

ORIZZONTE A a comportamento granulare
 $\gamma = 21.0 \text{ Kn/m}^3$
 $\phi = 36.81^\circ$; $\psi = 37.38^\circ$
 $E_y = 43.00 \text{ Mpa}$; $E_y' = 44.59 \text{ Mpa}$
 ORIZZONTE B a comportamento granulare
 $\gamma = 20.0 \text{ Kn/m}^3$
 $\phi = 36.01^\circ$; $\psi = 36.04^\circ$
 $E_y = 35.01 \text{ Mpa}$; $E_y' = 35.02 \text{ Mpa}$
 ORIZZONTE C a comportamento coesivo
 $\gamma = 19.0 \text{ Kn/m}^3$
 $C_u = 163.93 \text{ Kpa}$; $C_u' = 165.41 \text{ Kpa}$; $C' = 11.06 \text{ Kpa}$; $C' = 11.07 \text{ Kpa}$
 ORIZZONTE D a comportamento coesivo
 $\gamma = 18.5 \text{ Kn/m}^3$
 $C_u = 92.88 \text{ Kpa}$; $C_u' = 94.06 \text{ Kpa}$; $C' = 11.29 \text{ Kpa}$
 $C' = 11.30 \text{ Kpa}$; $\phi = 22.97^\circ$; $E_{ed} = 4.70 \text{ Mpa}$; $E_{ed} = 4.76 \text{ Mpa}$
 ORIZZONTE E a comportamento coesivo
 $\gamma = 18.5 \text{ Kn/m}^3$
 $C_u = 53.26 \text{ Kpa}$; $C_u' = 56.27 \text{ Kpa}$; $C' = 11.59 \text{ Kpa}$; $C' = 11.62 \text{ Kpa}$
 $\phi = 20.10^\circ$; $\psi = 20.23^\circ$; $E_{ed} = 2.85 \text{ Mpa}$; $E_{ed} = 2.94 \text{ Mpa}$

Rilevato autostradale esistente
 Livello di inviluppo dei massimi di falda

CLASSI LITOLOGICHE BASILARI:
 IN-MATERIALE DI RIPIRTO
 VE-TERRENI VEGETALE
 C=CIOTOLI
 G=GHIAIA
 S=SABBIA
 L=LIMO
 A=ARGILLA
 T=TORBA
 ASF=ASFALTO
 G=ORGANICO

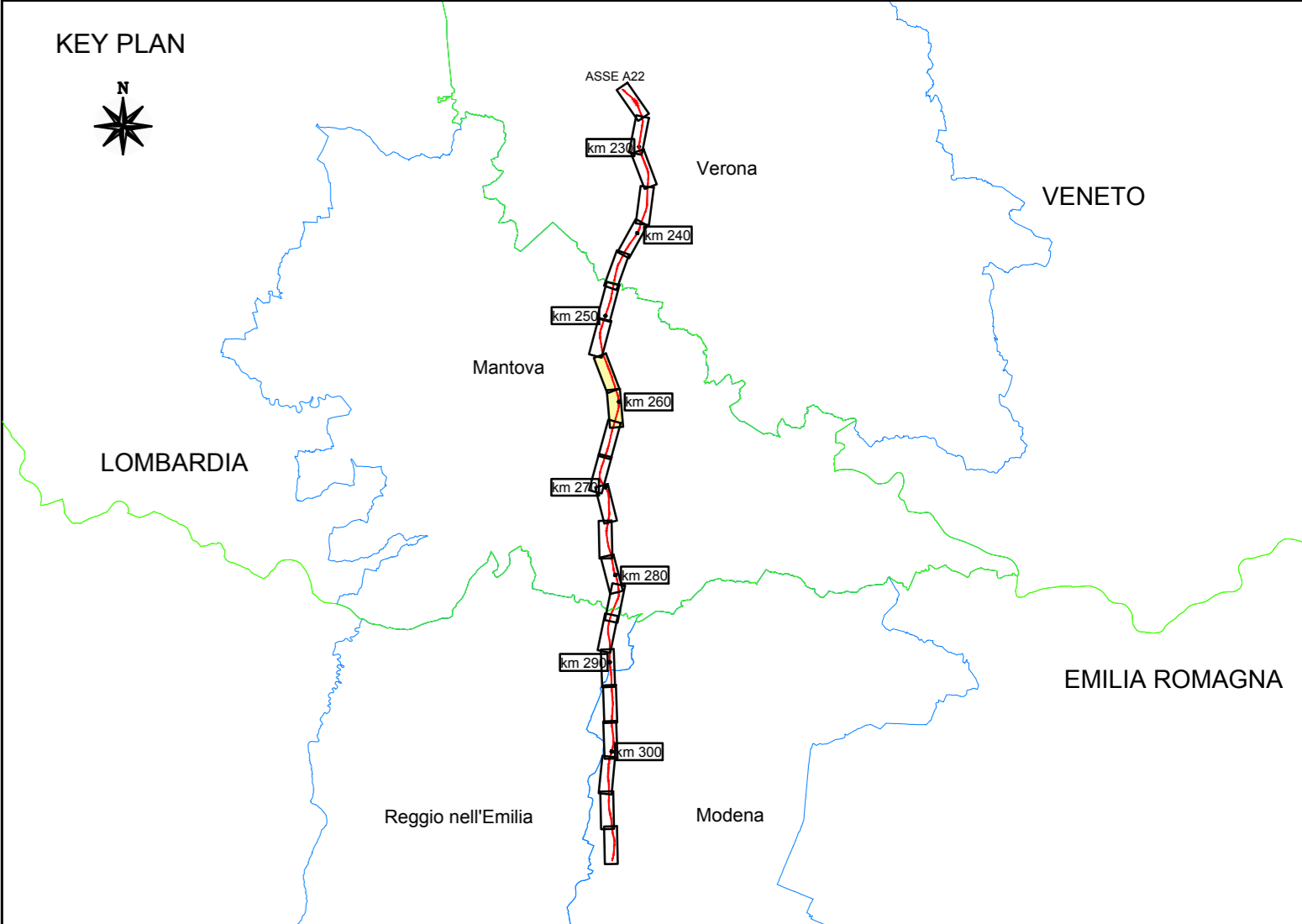
ALTERNANZE E INTERCALAZIONI:
 Z=Zonazione mista con partizioni di X e di Y
 X=partizione mista con partizioni di X e di Y
 Y=partizione mista con partizioni di X e di Y

LEGENDA DELLE INDAGINI GEOTECNICHE

--- CODICE PROVA
 --- PROFONDITA' (m)
 --- QUANTITA' SOSPENSIONE (g/l)
 --- FLOCCO ASSE (m) trasversale (m) ad EST (E)
 --- FLOCCO ASSE (m) longitudinale (m) ad OVEST (O) e SUD (S)
 --- ANNO CAMPAGNA INDAGINE

□ Presenza di campione indisturbato
 □ Prova SPT
 ▽ LIVELLO MAX FALDA
 --- TRATTO FINISTRATO
 --- TRATTO CIECO
 --- PREZIMETRO A TUBO APERTO
 --- TRATTO FINISTRATO
 --- TRATTO CIECO

□ Grafico del numero dei colpi N20
 □ Grafico della prova CPTU



SOCIETA' PER AZIONI AUTOSTRADA DEL BRENNERO - TRENTO

ORDINE DEGLI INGEGNERI DELLA PROV. DI TRENTO
 dott. ing. ROBERTO BOSETTI
 INSCRIZIONE ALBO N° 1027

IL RESPONSABILE DEL PROCEDIMENTO
 dott. ing. Roberto Bosetti

autostrada del brennero

PROGETTO DEFINITIVO PER LA REALIZZAZIONE DELLA TERZA CORSIA NEL TRATTO COMPRESO TRA VERONA NORD (KM 223) E L'INTERSEZIONE CON L'AUTOSTRADA A1 (KM 314)

1	ELABORATI GENERALI
2.2.30	STUDI GEOLOGICI E GEOTECNICI Regione Lombardia Modello geotecnico - tav. 2/5 (scala D=1:5.000 - H=1:500)

0	MAR. 2021	EMISSIONE	ENGE S.r.l.	G. BERRERA	C. COSTA
REVISIONE:	DATA:	DESCRIZIONE:	REDAZIONE:	VERIFICA:	APPROVAZIONE:
DATA PROGETTO:	LUGLIO 2009				
NUMERO PROGETTO:	31/09				

DIREZIONE TECNICA GENERALE

ORDINE DEGLI INGEGNERI DELLA PROV. DI BOLOGNA
 Nr. 501
 ING. ENRIK AMMER
 DER PROVINZ BOZEM